

О ДИФРАКЦИИ НЕСТАЦИОНАРНОЙ УПРУГОЙ ВОЛНЫ НА ЦИЛИНДРИЧЕСКОЙ ПОЛОСТИ

А. Н. КОВШОВ

(Москва)

Описывается разностная схема типа «пространственный крест», которая применяется для решения задачи о дифракции нестационарной упругой волны на цилиндрической полости. Система уравнений упругости записывается в полярных координатах и имеет вид гиперболической системы первого порядка относительно напряжений и скоростей. Представлены результаты расчетов.

В работе [1] рассмотрена дифракция стационарных упругих волн на полости. В работах [2, 3] с некоторой степенью приближения получено решение о дифракции нестационарной волны на полости. В работе [4] дано численное решение о дифракции упругой волны на диске.

1. Физическая постановка задачи такова: на цилиндрическую полость, находящуюся в безграничной упругой среде, падает продольная упругая волна. Требуется определить поле напряжений около полости и движение ее стенок. Задача сводится к отысканию решения уравнений плоской динамической теории упругости с начальным условием, задаваемым падающей волной и граничными условиями на полости. Кроме этого «отраженные» волны должны удовлетворять условию излучения на бесконечности.

Пусть плотность среды $\rho_0=1$, скорости продольных и поперечных волн $a=\sqrt{\lambda+2\mu}$, $b=\sqrt{\mu}$, радиус полости r_0 ; λ , μ — постоянные среды. Введем безразмерные напряжения $\sigma_{ij}=\sigma_{ij}/(\lambda+2\mu)$ скорости, $u_i=\dot{u}_i/a$ и время $t=t'/a/r_0$. Штрихом помечены размерные величины. Положим $a=1$, $r_0=1$, $u_r=\dot{u}$, $u_\theta=\dot{v}$, $\sigma_r=\sigma$, $\sigma_\theta=s$, $\tau_{r\theta}=\tau$. Тогда система уравнений относительно скоростей и напряжений примет вид

$$\begin{aligned} \sigma_{,t} &= u_{,r} + (1-2\mu) \frac{1}{r} (v_{,\theta} + u) & (1.1) \\ s_{,t} &= \frac{1}{r} (v_{,\theta} + u) + (1-2\mu) \dot{u}_{,r}, & \tau_{,t} = \mu v_{,r} + \mu \left(\frac{u_{,\theta}}{r} - \frac{v}{r} \right) \\ u_{,t} &= \sigma_{,r} + \frac{\tau_{,\theta}}{r} + \frac{\sigma-s}{r}, & v_{,t} = \frac{s_{,\theta}}{r} + \tau_{,r} + \frac{2\tau}{r} \end{aligned}$$

Запятая с индексом означает частную производную по соответствующему аргументу.

Решение задачи о дифракции определяется начальными и граничными условиями. Начальное условие состоит в том, что при $t \leq 0$ решение должно совпадать с напряжениями и скоростями, которые задаются плоской продольной волной формы $f(\xi)$. При этом за $t=0$ принимается время, когда волна достигла полости (фиг. 1).

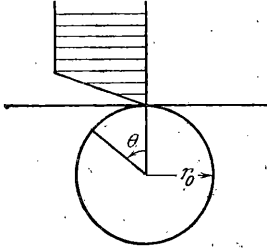
В силу симметрии относительно плоскости $\theta=0$, решение определяется для углов $0 \leq \theta \leq \pi$, а при $\theta=0$ и $\theta=\pi$ ставятся условия

$$\tau = v = 0, \quad u_{,\theta} = \sigma_\theta = s_{,\theta} = 0 \quad (1.2)$$

Будем считать, что поверхность полости свободна от напряжений, т. е.

$$\sigma=0, \quad \tau=0 \quad \text{при } r=r_0, \quad 0 \leq \theta \leq \pi \quad (1.3)$$

Пользуясь линейностью задачи, будем искать решение системы (1.1) в виде $w=w_0+w_1$, где w_0 — вектор с компонентами σ_0, s, τ, u, v , задаваемый падающей волной, а w_1 соответствует отраженным волнам.



Фиг. 1

При $r=1$ напряжения от падающей волны, вычисленные для среды без полости, имеют значения

$$\sigma_0=f(\xi)(1-2\mu \cos^2 \theta) \quad (1.4)$$

$$\tau_0=-f(\xi)\mu \sin 2\theta, \quad \xi=\cos \theta-1+t$$

Для w_1 получим нулевые начальные условия, условия симметрии (1.2), а на границе $r=1$ в силу (1.3) и (1.4) должно выполняться

$$\sigma_1=-f(\xi)(1-2\mu \cos^2 \theta), \quad \tau_1=f(\xi)\mu \sin 2\theta \quad (1.5)$$

Для построения численного решения необходимо ограничить расчетную область некоторой границей, на которой нужно поставить дополнительные условия. Выберем эту границу в виде окружности $r=R$, а условия на ней возьмем, исходя из соображений, аналогичных применяемым в работах [4, 5]. Будем считать, что вблизи границы $r=R$ продольное и поперечное движение локально описывается плоскими волнами, распространяющимися от центра $r=0$ вдоль радиуса. Поэтому положим при $r=R$

$$\sigma_1+u_1=0, \quad \tau_1+\sqrt{\mu} v_1=0 \quad (1.6)$$

2. Решение w_1 строилось с помощью метода конечных разностей. Расчетная область в полярных координатах представляет собой прямоугольник $1 \leq r \leq R, 0 \leq \theta \leq \pi$. Считалось, что напряжения определены в точках типа (i, j, k) , т. е. $\sigma(r, \theta, t)=\sigma(1+ih, jf, k\Delta t)$, а скорости — в точках $(i+1/2, j+1/2, k-1/2)$. Во внутренних точках применяется схема типа пространственный крест. Первые три уравнения системы (1.1) центрируются в точках $(i, j, k+1/2)$, остальные два — в точках $(i+1/2, j+1/2, k)$ и в этих точках имеем аппроксимацию второго порядка точности по всем трем переменным. При условии независимости решения от угла θ стандартным способом анализировалась устойчивость. Для этого случая можно показать, что модули собственных значений матрицы перехода при $\Delta t/h < 1$ ограничены величиной $1+c\Delta t$, т. е. условие Неймана выполняется. Нулевые начальные условия задавались при $k=0$. Так как граница проходит по узлам, где определены напряжения, то условие (1.5) определяет σ_1 и τ_1 при $k=1$ непосредственно. Условие (1.6) аппроксимировалось следующим образом:

$$\sigma_1(m, j, k+1)+u_1^0(m, j, k+1/2)=0 \quad (2.1)$$

$$\tau_1(m, j, k+1)+\sqrt{\mu} v_1^0(m, j, k+1/2)=0$$

где полик вверх означает осреднение по углам $f(j+1/2)$ и $f(j-1/2)$ и экстраполирование на границу $r=R$.

Условие (1.2) аппроксимировалось как $\tau(i, \theta, k+1)=0, \delta_0 \sigma=0, \delta_0 s=0$, где δ_0 — односторонний оператор, аппроксимирующий производную по углу со вторым порядком точности.

Условия (1.5) и (2.1) не определяют величину s на границе на верхнем слое по времени. Для ее определения использовались бихарактери-

стические соотношения для системы (1.4) [6, 7]. На характеристической плоскости, вдоль луча, по которому она касается поверхности $r = \text{const}$, получаем соотношение

$$(s - (1 - 2\mu)\sigma)_{,t} - 4\mu(1 - \mu) \frac{1}{r}(v_{,0} + u) = 0 \quad (2.2)$$

Соотношение (2.2) использовалось для определения величины на верхнем слое по времени при $r=1$ и $r=R$, при этом скорости экстраполировались на границу и использовались центральные разности.

Для расчета «резких» форм падающих волн применялось послойное сглаживание решения, которое аналогично используемому в работе [8], но приспособленное к схеме «крест».

Прибавляемый и вычисляемый на верхнем слое по времени диссипативный член имеет вид

$$d_{i,j} = \frac{\omega}{2} \frac{\tau}{rf} \{ (\varphi_{i,j+1} - \varphi_{i,j}) |\varphi_{i,j+1} - \varphi_{i,j}| - (\varphi_{i,j} - \varphi_{i,j-1}) |\varphi_{i,j} - \varphi_{i,j-1}| \} + \\ + \frac{\omega}{2} \frac{\tau}{rh} \left\{ \left(r + \frac{h}{2} \right) (\varphi_{i+1,j} - \varphi_{i,j}) |\varphi_{i+1,j} - \varphi_{i,j}| - \right. \\ \left. - \left(r - \frac{h}{2} \right) (\varphi_{i,j} - \varphi_{i-1,j}) |\varphi_{i,j} - \varphi_{i-1,j}| \right\} \quad (2.3)$$

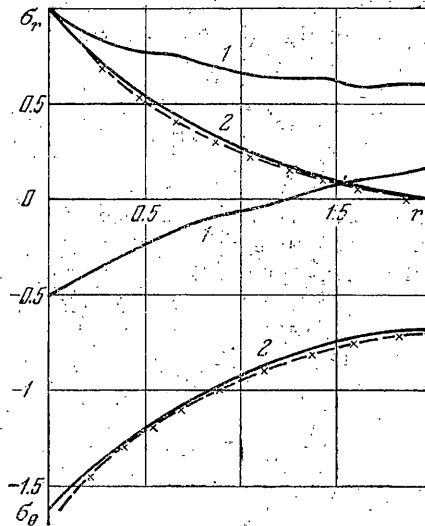
Величина ω подбиралась экспериментально. Можно заметить, что $d_{i,j}$ составляется аналогично диссипативному вязкому члену в форме предложенной Бурстейном с матрицей $Q_{i,j+1/2} = \omega |\varphi_{i,j+1} - \varphi_{i,j}|$ (см. [9]). Кроме $d_{i,j}$, к сглаживаемой функции добавлялся по аналогии с работой [8] «диагональный» диссипативный член. Для точек границы применялось сглаживание аналогичное (2.3).

3. Предложенная разностная схема проверялась на модельной задаче. В качестве таковой была рассмотрена задача Ламе об определении статистических напряжений в безграничном полупространстве с цилиндрической полостью, нагруженной $\sigma_r=1$, $\tau=0$ и $\sigma_r|_{\infty}=0$. Перед сравнением результатов расчета сделаем замечание относительно условий (1.6) и (2.1). Если предположить, что при $t \rightarrow \infty$ существует решение задачи, то оно должно удовлетворять условию (1.6) при $t \rightarrow \infty$, т. е. $\sigma_r=0$, $\tau=0$, так как в установившемся решении скорости u_1 и v_1 равны нулю. Поэтому, применяя метод установления, можно лишь ожидать, что получим решение, удовлетворяющее условию $\sigma_r=\tau=0$ при $r=R$. В точной же статистической задаче напряжения при $r=R$ отличны от нуля.

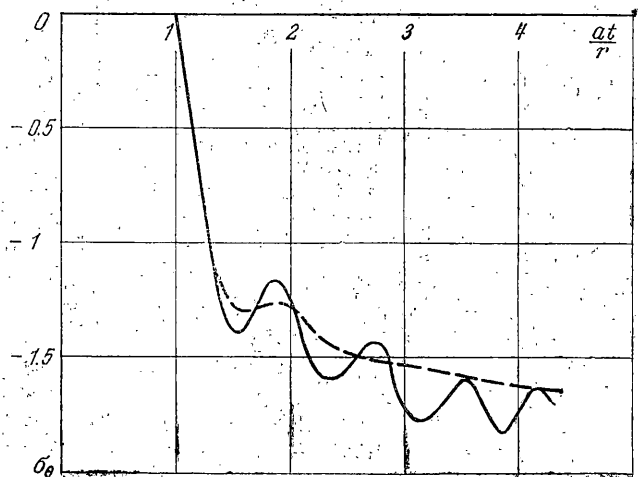
На фиг. 2 представлены результаты сравнения. На двумерной сетке рассчитывалась одномерная задача с условиями $\sigma_r=H(t)$, $\tau=0$ при $r=1$ и условиями (2.1) при $R=2$. $H(t)$ — «ступенчатая» функция. Параметры схемы принимались следующими $h=0.1$, $j=0.156$, $\Delta t=0.05$. Расчет производился без сглаживания. Представлены зависимости $\sigma_r(r)$ и $\sigma_0(r)$ для различных времен t — кривая 1 соответствует $t=0.05 \times 40=2$ (волна «пробежала» один диаметр), кривая 2 — $t=0.05 \times 240=12$ (волна прошла шесть диаметров). Крестиками отмечено точное решение задачи Ламе с условиями

$$\sigma_r=1, \tau=0 \text{ при } r=1; \quad \sigma_r=0, \tau=0 \text{ при } r=2$$

Видно, что разностное решение при $t=12$ очень мало отличается от точного статического. Также видно, что величина σ_0 при $r=1$ сильно зависит от величины R . Поэтому, чтобы успешно применять метод установления, нужно максимально увеличить R . Как показывает расчет при $R=5$,



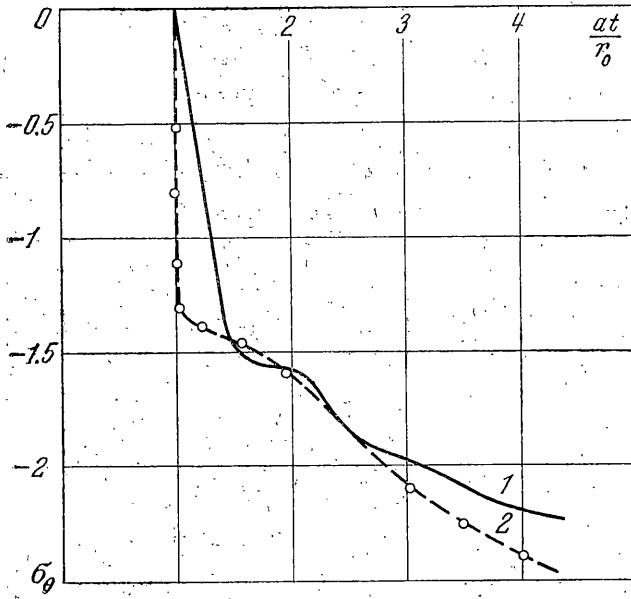
Фиг. 2



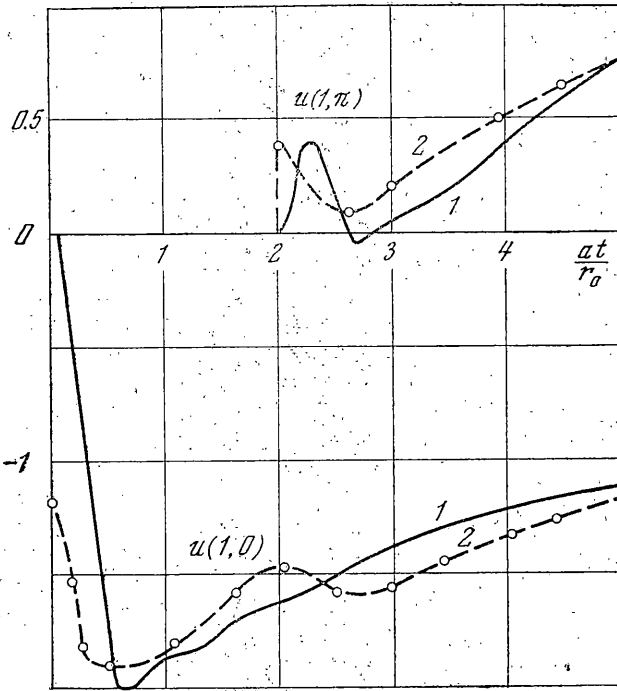
Фиг. 3

разностное решение при $t=12$ практически не отличается от статического решения задачи Ламе с условиями $\sigma_r=1$ при $r=1$, $\sigma_r=0$ при $r=\infty$, которое имеет вид $\sigma_r=1/r^2$, $\sigma_\theta=-1/r^2$.

При расчете двумерной задачи, из-за памяти ЭВМ (БЭСМ-3М) величина R не может быть достаточно большой. Поэтому решение, полученное методом установления, будет несколько отличаться от соответствующего статического решения для безграничной среды. Влияние величины R в двумерном случае было проверено следующим образом. Применялся переменный шаг h_i по координате r , такой, что $h_i=r_i f$, $r_i=r_0(1+f)^{(i)}$, $r_0=1$. При этом последние два уравнения для скоростей системы (1.1) аппроксимируются со вторым порядком точности, а при аппроксимации уравнений для напряжений в ошибку аппроксимации входит член, пропорциональный разности (h_i-h_{i-1}) . Но при этом $h_i-h_{i-1}=f^2(1+f)^{i-1}$, т. е. второй порядок точности сохраняется. Поэтому применение переменного шага h_i



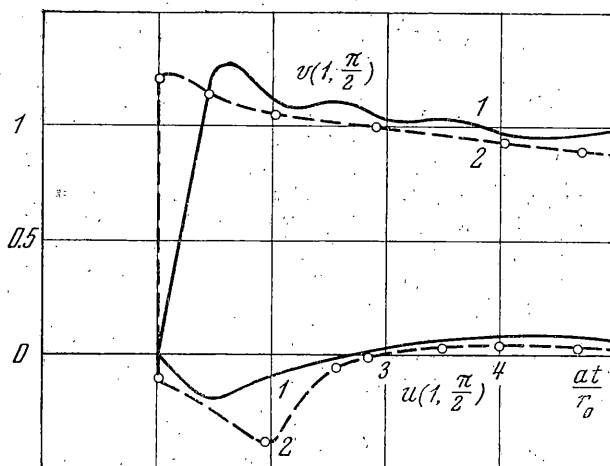
Фиг. 4



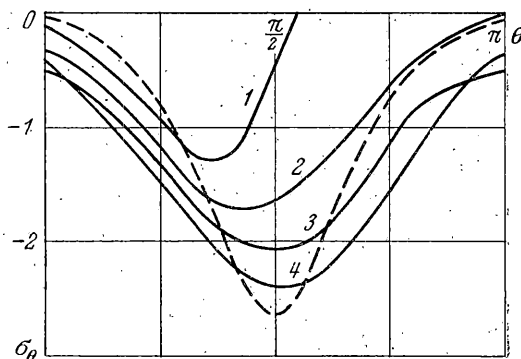
Фиг. 5

несколько увеличивало ошибку аппроксимации при больших r , но увеличивало значение R (например, при $i=12, f=0.157$ величина $R=5.76$).

Расчеты задачи о дифракции производились на двумерной сетке, содержащей 13×21 расчетный узел. Применялось сглаживание, в результате чего устойчивый счет был при $\Delta t/\sqrt{h^2 + f^2} = 1/\sqrt{2}$. При этом очень точно передавалась скорость распростране-



Фиг. 6



Фиг. 7

ния волн, и фронты были довольно резкими. Фиг. 3 показывает влияние сглаживания. На ней изображена величина $\sigma_\theta(1, \pi/2)$ как функция времени. При этом бралось $h=0.15$, $f=0.156$, величина $R=2.8$. Кривая 1 соответствует сглаживанию ($\omega=0.2$), кривая 2 — без сглаживания. Время прихода волны в эту точку $t=1$, форма падающей волны — «ступенька размазанная» на два шага по времени.

Решение, полученное с переменным шагом h , сопоставлялось с решением Барона [2, 3]. При этом выбирались следующие параметры: $\omega=0.2$, $f=0.156$, $\Delta t=0.155$, $\mu=0.333$ ($b/a=\sqrt{0.333}$), $R=5.78$. Форма падающей волны — ступенька размазанная на два шага по времени.

Заметим, что решение, построенное в [2, 3], основано на замене суммы бесконечного ряда двумя первыми слагаемыми, и как там указывается, справедливо для $t > 2$. Для времени t , при котором влияние внешней границы $r=R$ еще не сказывается, конечно-разностное решение отличается от точного на величины порядка ошибок аппроксимации. Результаты сравнения показаны на фиг. 4, где дана величина σ_θ при $\theta=\pi/2$ как функция времени. Кривая 1 — конечно-разностное решение при $R=5.76$, кривая 2 — результат работы [2]. На фиг. 5, 6 представлено сравнение скоростей точек полости. Кривые 1 — разностное решение, кривые 2 — результаты работы [2]. На фиг. 5 представлены значения скоростей $u(1,0)$ и $u(1,\pi)$ в зависимости от времени (т. е. на полости при $\theta=0$ и $\theta=\pi$). Скорость $u(1,0,t)$ достигает значения, равного -2 (как при отражении плоской волны от свободной границы) при $t=0.5$, и стремится к стационарному значению, равному -1 . На фиг. 6 представлены значения скоростей $v(1, \pi/2)$ и $u(1, \pi/2)$ в зависимости от времени¹. Результаты,

¹ Примеры расчетов полей напряжений вблизи полости при других параметрах и формах падающей волны см. в работе: Ковшов А. Н. Численное решение задач о дифракции упругой волны на цилиндрической полости и массивном цилиндре. М., Ин-т проблем механики АН СССР, 1976, препринт № 71.

представленные на фиг. 7, показывают распределение напряжения σ_θ на полости по углу θ для различных значений времени t и демонстрируют характер приближения нестационарного решения к статическому. Кривые 1, 2, 3, 4 соответствуют времени $t=1.09, 2.18, 3.26, 4.35$. Пунктирная кривая представляет распределение σ_θ , соответствующее решению статической задачи для упругого пространства с цилиндрической полостью, свободной от напряжений и с условиями на бесконечности $\sigma_r = -(1-2\mu \sin^2 \theta)$, $\sigma_\theta = -(1-2\mu \cos^2 \theta)$, $\tau_{r\theta} = \mu \sin 2\theta$, которые обуславливаются прошедшей плоской продольной упругой волной. Это распределение имеет вид $\sigma_\theta = -2(1-\mu(1+2 \cos 2\theta))$.

Автор благодарит Н. В. Зволинского за постоянное внимание к работе.

Поступила 18 IV 1976

ЛИТЕРАТУРА

1. Яворская И. М. Дифракция плоских стационарных упругих волн на гладких выпуклых цилиндрах. ПММ, 1965, т. 29, вып. 3.
2. Baron M. L., Matthews A. T. Diffraction of a pressure wave by a cylindrical cavity in an elastic medium. Trans. ASME Ser. E, J. Appl. Mech., 1961, vol. 28, No. 3. (Рус. перев.: Прикл. механ., Тр. Америк. о-ва инж.-механ., Сер. E, 1961, т. 28, № 3.)
3. Baron M. L., Parnes R. Displacements and velocities produced by the diffraction of a pressure wave by a cylindrical cavity in an elastic medium. Trans. ASME Ser. E, J. Appl. Mech., 1962, vol. 29, No 2. (Рус. перев.: Прикл. механ., Тр. Америк. о-ва инж.-механ., Сер. E, 1962, т. 29, № 2.)
4. Скобеев А. М. Дифракция упругой волны на диске. ПМТФ, 1972, № 3.
5. Скобеев А. М. Взаимодействие упругой волны с пластинкой. ПМТФ, 1972, № 2.
6. Курант Р. Уравнения с частными производными. М., «Мир», 1964.
7. Clifton R. J. A difference method for plane problems in dynamic elasticity. Quart Appl. Math., 1967, vol. 25, No. 1, p. 97-116. (Рус. перев.: Механика. Сб. перев., 1968, № 1 (108).)
8. Лязов В. И. Сглаживание и искусственная вязкость при расчетах двумерных нестационарных течений с разрывами. В сб.: Численные методы в механике сплошной среды, вып. 3, Новосибирск, 1974.
9. Ризтмайер Р., Морган К. Разностные методы решения краевых задач. М., «Мир», 1972.